

**С.И.Семькин, В.Ф.Поляков, С.А.Дудченко, Т.С.Голуб,
В.В.Вакульчук, Е.В.Семькина**

Институт черной металлургии НАН Украины им.З.И.Некрасова

**ЭКСПЕРИМЕНТАЛЬНЫЕ ИССЛЕДОВАНИЯ ЭФФЕКТИВНОСТИ
ВЛИЯНИЯ ЭЛЕКТРИЧЕСКИХ ВОЗДЕЙСТВИЙ НА РАСПЛАВ ЧУГУНА
ПРИ ЕГО ВНЕПЕЧНОМ РАФИНИРОВАНИИ ГРАНУЛИРОВАННЫМ
МАГНИЕМ**

Целью работы является изучение возможности углубления рафинировочных процессов при внепечной обработке чугуна для снижения вредных примесей и уменьшения тепловых потерь в расплаве путем наложения низковольтного потенциала на жидкий расплав. В лабораторных условиях проведена серия опытов по обработке расплава чугуна в ковше гранулированным магнием с наложением низковольтных потенциалов. Установлена возможность получения более высоких показателей по десульфурации чугуна за счет применения низковольтного потенциала. Показано, что показатель степени десульфурации увеличился на 10%, интенсивность удаления серы увеличилась на 22,4%, коэффициент усвоения магния металлом увеличился на 24%. Установлены зависимости интенсивности удаления серы от интенсивности ввода магния в условиях наложения низковольтного потенциала на жидкий расплав.

Ключевые слова: внепечная обработка стали, десульфурация, наложение низковольтного потенциала на жидкий расплав, показатели процесса

Состояние вопроса и постановка задачи. Институтом черной металлургии в течение ряда лет выполнялись исследования теоретического и прикладного характера по созданию научно-технических основ использования электрической энергии малой удельной мощности при конвертерном производстве стали для вариантов процесса, предусматривающего продувку кислородом через верхнюю фурму [1]. В качестве распространения полученного при окислительном рафинировании в конвертере опыта перспективным является проведение подобных исследований в условиях внепечной обработки чугуна с продувкой порошкообразными материалами. Одним из наиболее перспективных способов является обработка чугуна гранулированным магнием в потоке нейтрального газа [2-4].

Изучение перспективы использования влияния маломощной электрической энергии при обработке чугуна базируется на возможном углублении рафинировочных процессов со снижением в расплаве нежелательных примесей и уменьшении тепловых потерь металлургическим расплавом за цикл обработки, а также обеспечении ресурсосбережения.

Целью работы является изучение возможности углубления рафинировочных процессов при внепечной обработке чугуна для снижения вредных примесей и уменьшения тепловых потерь в расплаве путем наложения низковольтного потенциала на жидкий расплав.

Методика исследования. В 2013 г. в лабораторных условиях ОМС ИЧМ была проведена серия опытов по обработке расплава чугуна гранулированным магнием марки МГП-99 с фракцией 0,35-1,45мм, подаваемым в потоке азота или аргона, в ковше емкостью 80 кг с кислой футеровкой. Для этого была подготовлена установка подачи гранулированного магния в газовом потоке, дооборудованная электрической схемой наложения низковольтных потенциалов. Для контроля электрических и дутьевых параметров ведения процесса были использованы приборы непрерывной регистрации типа UNIT 60 -71 с записью на персональный компьютер.

Методика проводимых экспериментов. В индукционную печь емкостью 100 кг загружали 70 - 80 кг обрезки металла (химический состав: 1,91 – 3,5 % С, 1,25 - 1,35 % Si, 0,30 - 0,48 % Mn, 0,06 – 0,10 % S) и 10 - 30 кг чугунного боя, содержащего порядка 4,0 % С; 0,04 % S.

Перед проведением опытов осуществляли подогрев футеровки ковша путем 3-х кратного наполнения расплавленным металлом с выдержкой в ковше порядка 1,5 мин.

Опыты проводили парами. Общий объем расплавленного в печи металла при сливе в ковш делили на две порции. Ковш с расплавленным металлом краном перемещали к продувочному стенду, после чего на ковш устанавливали металлическую крышку с закрепленной в ней продувочной фурмой (прямоточная с диаметром сопла 5 мм) и электродом. Глубина погружения фурмы преимущественно составляла 60 – 75 % от толщины металлического расплава. Подача азота или аргона на фурму начиналась до ее погружения в расплав при давлении на редукторе баллона 0,5 – 1,5 ати. Давление в бачке смесителя подачи реагента контролировали с помощью образцового цифрового манометра и поддерживали во время эксперимента неизменным для каждого опыта на уровне от 0,18 до 0,3 ати в зависимости от выбранной скорости подачи магния. Опыты проводили при скорости вращения ротора дозатора 9 об/мин. Длительность подачи магния определялась температурными возможностями расплава, не допускающими переохладения металла в ковше, и работой системы без забивания тракта подачи сыпучих.

В каждый экспериментальный день при проведении опытов поддерживались близкие технологические и дутьевые параметры: начальная температура расплава в печи на момент выпуска, единый химический состав расплава перед выпуском в ковш, давление газа в расходном бункере. В каждой паре проводимых экспериментов один из опытов был сравнительный (без электрических воздействий), а второй – с подводом низковольтного потенциала к фурме и погружному контактному электроду. Во время проведения опытов регистрировали: подводимое напряжение, силу электрического тока, потребляемую мощность, температуру металла в ковше до начала и в конце обработки с помощью погружной термопары ППР 6/30. При проведении опытов осуществлялся отбор проб металла из ковша до начала, и после обработки магнием и шлака по его наличию.

Кроме того, по ходу продувки без ее остановки производился отбор проб металла с интервалом 1 – 2 мин. После эксперимента расплав переливали в подготовленные изложницы для дальнейшего остывания и взвешивания. Слитки имели вес 40 - 50 кг.

Ход и характер протекания экспериментов фиксировался с помощью видеокамеры JVC-40. В целом по визуальной оценке ход обработки магнием сопровождался некоторым разбрызгиванием металла без существенных выбросов и выносов расплавленных частиц. При этом отмечалось выделение белого дыма, характерного для обработки магнием.

Осмотр оборудования после проведения опытов показал, что фурменные блоки за время продувки несколько изнашивались, приобретая коническую форму, и имели характерные особенности поверхности для каждого из проведенных вариантов обработки. В варианте без электрических воздействий отмечено большее количество металлических вкраплений по поверхности фурменного блока по сравнению с вариантом с воздействием низковольтного потенциала.

Результаты исследования. Средние значения основных параметров проведенных опытов, а также расчетные показатели эффективности десульфурации чугуна согласно работе [2] представлены в табл.1. Следует отметить, что результаты опытов, проведенных без электрических воздействий, коррелируют с данными работы [3]. Зависимости интенсивности удаления серы (А) и степени усвоения магния чугуном (Б) от интенсивности подачи гранулированного магния приведены на рис. 1 и 2.

Таблица 1. Средние значения основных показателей лабораторных опытов в ОМС по обработке чугуна гранулированным магнием

Параметры	Опытные варианты		Отклонение от варианта без воздействий, % отн.
	Без воздействий	С низковольтным потенциалом	
Количество плавок, шт	8	10	
Вес металла, кг	41,4	44,57	
Расход магния, кг/т	0,97	0,89	
Время обработки, мин	4,42	4,53	2,5
[S] начальная, %	0,0866	0,0813	-6,1
[S] конечная, %	0,0474	0,0390	-17,7
[Mg] остаточный, %	0,0058	0,0090	55,2
Остывание чуг., °С/мин	44,2	37,5	15,1
Ст. десульфурации, %	44,72	55,68	24,5
Интенсивность удаления серы, г/мин	3,52	4,31	22,4
β , кг/кг	2,44	2,10	-13,9
K_{Mg}^S , %	31,13	36,37	16,8
η , %	39,73	49,31	24,1

β – расход магния на удаленную серу, K_{Mg}^S – степень усвоения магния на серу, η – степень усвоения магния чугуном.

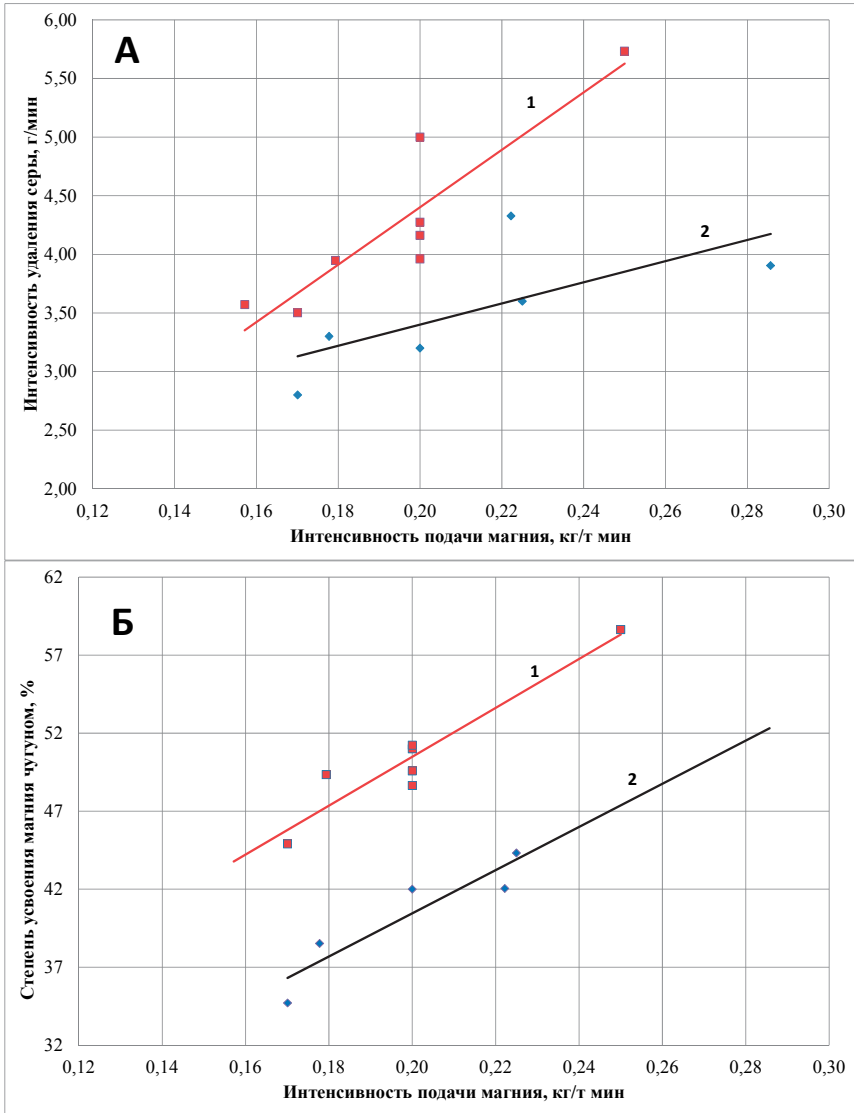


Рисунок. Зависимость интенсивности удаления серы (А) и степени усвоения магния чугуном (Б) от интенсивности подачи гранулированного магния: 1 – вариант с применением низковольтного потенциала, 2 – вариант без воздействий.

Было отмечено, что на плавках, проведенных с воздействием низковольтного потенциала, показатель степени десульфурации увеличился на 10,96 % абс. (24,5 % отн.), интенсивность удаления серы увеличилась на

0,79 г/мин (на 22,4 % отн.) при меньшем уровне удельного расхода магния (0,89 кг/т против 0,97 кг/т в варианте без воздействий). Остаточное содержание магния в металле в варианте с электрическим потенциалом было выше (0,009 % масс., против 0,0058 % масс. в варианте без воздействий). В варианте с применением низковольтного потенциала повысились коэффициент усвоения магния металлом (η) на 24,1 % отн. и степень его усвоения на удаленную серу (K_{Mg}^S) - на 16,8 % отн. Улучшение процесса десульфурации металла в варианте с электрическими воздействиями также подтверждается установленными зависимостями интенсивности удаления серы в единицу времени продувки и степени усвоения магния чугуном от интенсивности ввода магния, приведенными на рис. 1.

В опытах с электрическими воздействиями увеличение степени десульфурации металла сопровождается дополнительным насыщением металла магнием, вероятно, за счет электрической активации магния, присутствующего в различных его формах, что косвенно свидетельствует о снижении его потерь с дымовыми газами.

Контроль температурного состояния показал, что в условиях проведенных экспериментов в варианте с применением низковольтного потенциала отмечен меньший, чем на сравнительных опытах уровень снижения температуры металла в единицу времени обработки магнием (на 6,7 °С/мин).

Заключение. Таким образом, проведенные в ОМС ИЧМ лабораторные исследования по оценке применения метода наложения низковольтного потенциала на систему продувочная фурма – жидкий металлический расплав при обработке чугуна гранулированным магнием в потоке нейтрального газа показали принципиальную возможность реализации и эффективность применения данного способа как с целью повышения показателей десульфурации чугуна и степени усвоения магния, так и снижения уровня тепловых потерь.

1. *Ресурсо- и энергосберегающая технология конвертерной плавки с электрическими воздействиями.* / С. И. Семькин, В. Ф. Поляков, Е. В. Семькина, В. А. Шеремет, А. В. Кекух, В. И. Макаренко, В. И. Пишида, С. Н. Кравец, А. В. Шибко, С. С. Бродский, В. В. Ивко, В. В. Несвет. // *Металл и литье Украины.* - 2004. - № 11. - С.46-48.

2. *Воронова Н. А.* Десульфурация чугуна магнием. – М.:Металлургия. – 1980. – 239 с.

3. *Чернятевич А. Г.* Особенности десульфурации чугуна при вдувании диспергированного магния / А. Г. Чернетевич, А. С. Вергун, К. И. Чубин // *Изв. ВУЗов ЧМ.* – 2000. - №12. – С. 3 – 8.

4. *Создание современных процессов внепечной десульфурации чугуна магнием* / А. Ф. Шевченко, В. И. Большаков, Б. В. Двоскин [и др.] // *Металлургическая и горнорудная промышленность.* – 2001. - № 1. – С.20-23

С.І.Семикін, В.Ф.Поляков, С.О.Дудченко, Т.С.Голуб, В.В.Вакульчук, Е.В.Семикіна

Експериментальні дослідження ефективності впливу електричних впливів на розплав чавуну при його позапічної рафинировани гранульованим магнієм.

Метою роботи є вивчення можливості поглиблення рафинувальних процесів при позапічної обробці стали для зниження шкідливих домішок і зменшення теплових втрат у розплаві . У лабораторних умовах проведена серія дослідів з обробки розплаву чавуну в ковші гранульованим магнієм з накладенням низьковольтних потенціалів. Встановлено можливість отримання більш високих показників по десульфурації чавуну за рахунок застосування низьковольтного потенціалу. Показано, що показник ступеня десульфурації збільшився на 10%, інтенсивність видалення сірки збільшилася на 22,4%, коефіцієнт засвоєння магнію металом збільшився на 24%. Встановлено залежності інтенсивності видалення сірки від інтенсивності введення магнію в умовах накладення низьковольтного потенціалу на рідкий розплав .